

热油管道停输温降数值模拟

南发学¹, 亢春¹, 张海², 卿明祥²

(1. 西南石油大学, 四川 成都 610500 2. 青海油田公司采油一厂, 甘肃 敦煌 736200)

摘要: 将热油管道油品、管壁、土壤传热方程, 结合边界条件、连接条件、初始条件等组成热油管道停输温降分析微分方程组, 采用数值解法对方程组进行差分求解, 构建差分方程组, 采用高斯消元法对方程组进行求解, 从而获得热油管道停输后的温度变化规律, 对合理确定安全停输时间以及再启动所需的压力提供了计算依据。

关键词: 管道; 停输; 模型; 数值模拟

文章编号: 1006-5539(2009)01-0007-04

文献标识码: A

热油管道在运行过程中, 不可避免地会发生如自然灾害、停电、计划性检修和事故抢修等故障, 以及间歇输送时都会造成管道的停输。在热油管道停输后, 由于管内存油不断向外放热, 使得温度逐渐下降, 粘度随之上升, 管壁上的结蜡层增厚, 油品的流动性受到影响。当存油温度降到一定程度时, 管道再启动时的阻力增大, 再启动工作就会变得十分困难, 甚至发生凝管事故^[1-4]。因此, 进行热油管道停输后的热力计算, 了解管道在各种条件下停输后的温降情况, 掌握管道周围土壤温度场和介质温度随时间的变化, 对合理确定安全停输时间以及再启动所需的压力, 为安全生产提供科学依据, 对管道事故处理、计划检修、再启动都具有重要的指导意义。

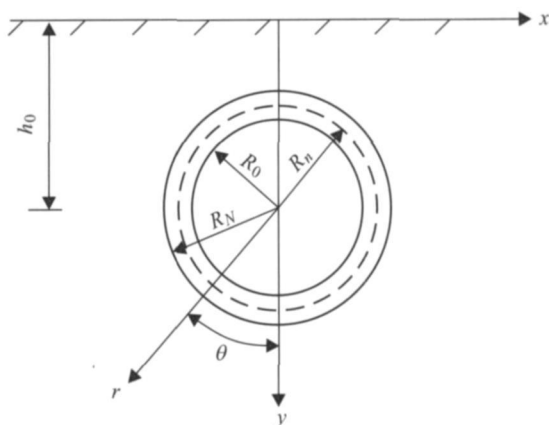


图 1 埋地管道横截面示意图

1 埋地管道停输热力计算数学模型

如图 1 所示为某埋地管道横截面示意图, 设在管道内半径 R_0 和外半径 R_N 之间共有 N 层 (管壁、保温层、防护层等), 其中任意层 n 的内半径为 R_{n-1} ($n=1, 2, \dots, N$)。在极坐标系 (r, θ) 下描述它们和原油的传热问题, 在直角坐标系 (x, y) 下描述半无穷大土壤的传热问题。

1.1 传热方程

根据热力学原理^[5-7], 得到热油的传热方程为:

$$\rho c \frac{\partial T}{\partial t} = \frac{1}{r} \frac{\partial}{\partial r} \left[\lambda r \frac{\partial T}{\partial r} \right] + \frac{1}{r^2} \frac{\partial}{\partial \theta} \left[\lambda \frac{\partial T}{\partial \theta} \right] \quad (1)$$

式中 ρ ——油品密度, kg/m^3 ;
 c ——油品热容, $\text{J}/(\text{kg} \cdot ^\circ\text{C})$;
 T ——油品温度, $^\circ\text{C}$;
 λ ——油品导热系数, $\text{W}/(\text{m} \cdot ^\circ\text{C})$ 。

管壁等的传热方程为:

$$\rho_n c_n \frac{\partial T_n}{\partial t} = \frac{1}{r} \frac{\partial}{\partial r} \left[\lambda_n r \frac{\partial T_n}{\partial r} \right] + \frac{1}{r^2} \frac{\partial}{\partial \theta} \left[\lambda_n \frac{\partial T_n}{\partial \theta} \right] \quad (n=1, 2, \dots, N-1) \quad (2)$$

式中 ρ_n ——管道第 n 层材料密度, kg/m^3 ;
 c_n ——管道第 n 层材料热容, $\text{J}/(\text{kg} \cdot ^\circ\text{C})$;
 T_n ——管道第 n 层 (管壁、保温层、防护层

收稿日期: 2008-06-10

作者简介: 南发学 (1958-), 男, 新疆米泉县人, 高级经济师, 西南石油大学在读博士生。从事油气管道技术研究和管理工作。电话: (010) 59636635。

等温度, °C;

λ_n ——管道第 n 层材料导热系数, $W/(m \cdot ^\circ C)$ 。

土壤的传热方程为:

$$\rho_g c_g \frac{\partial T_g}{\partial t} = \frac{\partial}{\partial x} \left[\lambda_g \frac{\partial T_g}{\partial x} \right] + \frac{\partial}{\partial y} \left[\lambda_g \frac{\partial T_g}{\partial y} \right] \quad (3)$$

式中 ρ_g ——土壤密度, kg/m^3 ;

c_g ——土壤热容, $J/(kg \cdot ^\circ C)$;

T_g ——土壤温度, °C;

λ_g ——土壤导热系数, $W/(m \cdot ^\circ C)$ 。

1.2 边界条件

考虑到油品在冷却过程中管道各截面最大油温

会偏离轴心 (即 $r=0$ 时, $\frac{\partial T}{\partial r} \neq 0$) 得到:

$$\lim_{r \rightarrow 0} r \frac{\partial T}{\partial r} = 0 \quad (4)$$

土壤与外部大气间对流换热方程:

$$\frac{\partial T_g}{\partial y} \Big|_{y=0} = \frac{\alpha_k}{\lambda_g} (T_g - T_b) \quad (5)$$

式中 α_k ——土壤表面向大气放热系数, $W/(m^2 \cdot ^\circ C)$;

T_b ——大气温度, °C。

1.3 连接条件

由原油与最内层管壁接触处通过热流密度相等及对流换热方程^[7], 得:

$$\lambda \frac{\partial T}{\partial r} \Big|_{r=R_0} = \lambda_1 \frac{\partial T_1}{\partial r} \Big|_{r=R_0} = -\alpha_Y (T - T_1) \quad (6)$$

式中 λ_1 ——管道最内层材料的导热系数, $W/(m \cdot ^\circ C)$ 。

T_1 ——管道最内层温度, °C;

α_Y ——原油向管内壁的放热系数, $W/(m^2 \cdot ^\circ C)$;

R_0 ——管道内半径, m

由管壁各层边界处通过的热流密度相等, 得:

$$\lambda_n \frac{\partial T_n}{\partial r} \Big|_{r=R_n} = \lambda_{n+1} \frac{\partial T_{n+1}}{\partial r} \Big|_{r=R_{n+1}} \quad (n=1, 2, \dots, N-1) \quad (7)$$

式中 R_n ——管道第 n 层外半径, m

由管壁各层边界处温度相等, 得:

$$T_n \Big|_{r=R_n} = T_{n+1} \Big|_{r=R_{n+1}} \quad (n=1, 2, \dots, N-1) \quad (8)$$

由最外层管壁与土壤接触处通过的热流密度相

等, 得:

$$\lambda_N \frac{\partial T_N}{\partial r} \Big|_{r=R_N} = \lambda_g \frac{\partial T_g}{\partial r} \Big|_{r=R_N} \quad (9)$$

式中 λ_N ——管道最外层材料的导热系数, $W/(m \cdot ^\circ C)$ 。

T_N ——管道最外层温度, °C;

R_N ——管道最外层半径, m

由最外层管壁与土壤接触处温度相等, 得:

$$T_N \Big|_{r=R_N} = T_g \Big|_{r=R_N} \quad (10)$$

1.4 初始条件

$$T \Big|_{t=0} = f(\theta) \quad (11)$$

$$T_n \Big|_{t=0} = f(r, \theta) \quad (12)$$

$$T_g \Big|_{t=0} = f(x, y) \quad (13)$$

2 模型的数值解法

方程 (1) 是在极坐标系下描述的有限区域的传热问题。对管内油品, 设沿 θ 方向划分网格的等分

数为 J , $\Delta\theta = \frac{2\pi}{J}$, 则 $\theta_j = \Delta\theta (j=0, 1, \dots, J)$; 沿 r 方

向划分网格数为 M , $\Delta r = \frac{R_0}{M+0.5}$, 则 $r(i+0.5) = \Delta r (i=0, 1, \dots, M)$ 。管道剖分网格如图 2。

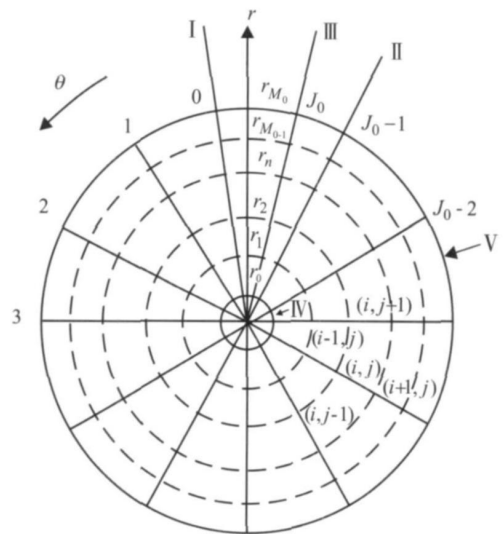


图 2 管道剖分截面示意图

对管道系统油品、管壁和土壤传热方程在图 2 所示网格系统中进行差分求解, 形成一个封闭的差分方程组如下:

$$W_1 T_{i,j}^{m+1} + W_2 T_{i+1,j}^{m+1} + W_3 T_{i-1,j}^{m+1} + W_4 T_{i,j+1}^{m+1} + W_5 T_{i,j-1}^{m+1} = \xi_1 T_{i,j}^m \quad (i=1, 2, \dots, M_0-1; j=1, 2, \dots, J-2) \quad (14)$$

$$W_1' T_{i,0}^{m+1} + W_2' T_{i+1,0}^{m+1} + W_3' T_{i-1,0}^{m+1} + W_4' T_{i,1}^{m+1} + W_5' T_{i,j-1}^{m+1} = \xi_1' T_{i,0}^m \quad (i=1, 2, \dots, M_0-1) \quad (15)$$

$$W_1'' T_{i,j_0-1}^{m+1} + W_2'' T_{i+1,j_0-1}^{m+1} + W_3'' T_{i-1,j_0-1}^{m+1} + W_4'' T_{i,0}^{m+1} + W_5'' T_{i,j_0-2}^{m+1} = \xi_1'' T_{i,j_0-1}^m \quad (i=1, 2, \dots, M_0-1) \quad (16)$$

$$T_{i,0}^{m+1} - T_{i,0}^m = 0 \quad (i=0, 1, \dots, M_0) \quad (17)$$

$$V_1 T_{0,j}^{m+1} + V_2 T_{1,j}^{m+1} + V_3 T_{0,j+1}^{m+1} + V_4 T_{0,j-1}^{m+1} = \mu_1 T_{0,j}^m \quad (j=1, 2, \dots, J-2) \quad (18)$$

$$V_1 T_{0,0}^{m+1} + V_2 T_{1,0}^{m+1} + V_3 T_{0,1}^{m+1} + V_4 T_{0,j-1}^{m+1} = \mu_1' T_{0,0}^m \quad (j=1, 2, \dots, J-2) \quad (19)$$

$$V_1'' T_{0,j_0-1}^{m+1} + V_2'' T_{1,j_0-1}^{m+1} + V_3'' T_{0,0}^{m+1} + V_4'' T_{0,j_0-2}^{m+1} = \mu_1'' T_{0,j_0-1}^m \quad (20)$$

$$\ddot{x}(0, 1) T_{M_0,j}^{m+1} - \ddot{x}(0, 1) T_{M_0-1,j}^{m+1} + \ddot{x}(1, 0) T_{0,j}^{m+1(1)} - \ddot{x}(1, 0) T_{0,j}^{m+1(1)} = 0 \quad (21)$$

$$\alpha_{M_0,j}^m T_{0,j}^{m+1(1)} - [\alpha_{M_0,j}^m + \ddot{x}(0, 1)] T_{M_0,j}^{m+1} + \ddot{x}(0, 1) T_{M_0+1,M_0-1,j}^{m+1} = 0 \quad (22)$$

$$T_M^{m+1} - \frac{1}{4} (T_{0,0}^{m+1} + T_{0,\frac{1}{4}b}^{m+1} + T_{0,\frac{1}{2}b}^{m+1} + T_{0,\frac{3}{4}b}^{m+1}) = 0 \quad (23)$$

$$W_1^{(n)} T_{i,j}^{m+1(n)} + W_2^{(n)} T_{i+1,j}^{m+1(n)} + W_3^{(n)} T_{i-1,j}^{m+1(n)} + W_4^{(n)} T_{i,j+1}^{m+1(n)} + W_5^{(n)} T_{i,j-1}^{m+1(n)} = \xi_1^{(n)} T_{i,j}^{m(n)} \quad (n=1, 2, \dots, N-1; i=1, 2, \dots, M_n-1; j=1, 2, \dots, J-2) \quad (24)$$

$$W_1^{(n)} T_{i,0}^{m+1(n)} + W_2^{(n)} T_{i+1,0}^{m+1(n)} + W_3^{(n)} T_{i-1,0}^{m+1(n)} + W_4^{(n)} T_{i,1}^{m+1(n)} + W_5^{(n)} T_{i,j-1}^{m+1(n)} = \xi_1^{(n)} T_{i,0}^{m(n)} \quad (n=1, 2, \dots, N-1; i=1, 2, \dots, M_n-1) \quad (25)$$

$$W_1^{(n)} T_{i,j_0-1}^{m+1(n)} + W_2^{(n)} T_{i+1,j_0-1}^{m+1(n)} + W_3^{(n)} T_{i-1,j_0-1}^{m+1(n)} + W_4^{(n)} T_{i,0}^{m+1(n)} + W_5^{(n)} T_{i,j_0-2}^{m+1(n)} = \xi_1^{(n)} T_{i,j_0-1}^{m(n)} \quad (n=1, 2, \dots, N-1; i=1, 2, \dots, M_n-1) \quad (26)$$

$$T_{i,0}^{m+1(n)} - T_{i,0}^{m(n)} = 0 \quad (n=1, 2, \dots, N; i=1, 2, \dots, M_n) \quad (27)$$

$$\ddot{x}(n, n+1) T_{M_n,j}^{m+1(n)} - \ddot{x}(n, n+1) T_{M_{n-1},j}^{m+1(n)} - \ddot{x}(n+1, n) T_{i,j}^{m+1(n+1)} - \ddot{x}(n+1, n) T_{0,j}^{m+1(n+1)} = 0 \quad (n=1, 2, \dots, N-1; j=1, 2, \dots, J) \quad (28)$$

$$T_{M_n,j}^{m+1(n)} - T_{0,j}^{m+1(n+1)} = 0 \quad (n=1, 2, \dots, N-1; j=1, 2, \dots, J) \quad (29)$$

$$e_2 T_{M_n,j}^{m+1(n)} - e_2 T_{M_n-1,j}^{m+1(n)} + e_1 T_{0,j}^{m+1} - e_1 T_{0,j}^{m+1} = 0$$

$$(j=0, 1, \dots, J) \quad (30)$$

$$T_{0,j}^{m+1} - T_{M_n,j}^{m+1(n)} = 0 \quad (j=0, 1, \dots, J) \quad (31)$$

$$K_1 T_{0,j}^{m+1} + K_2 T_{0,j+1}^{m+1} + K_3 T_{0,j-1}^{m+1} + K_4 T_{0,j+1}^{m+1} + K_5 T_{0,j-1}^{m+1} = K_6 \quad (j=1, 2, \dots, M_0-1; j=1, 2, \dots, J-2) \quad (32)$$

$$K_1' T_{0,j}^{m+1} + K_2' T_{0,j+1,0}^{m+1} + K_3' T_{0,j-1,0}^{m+1} + K_4' T_{0,j}^{m+1} + K_5' T_{0,j-1}^{m+1} = K_6' \quad (j=1, 2, \dots, M_0-1) \quad (33)$$

$$K_1'' T_{0,j_0-1}^{m+1} + K_2'' T_{0,j_0-1}^{m+1} + K_3'' T_{0,j_0-1}^{m+1} + K_4'' T_{0,j_0-1}^{m+1} + K_5'' T_{0,j_0-2}^{m+1} = K_6'' \quad (j=1, 2, \dots, M_0-1) \quad (34)$$

$$T_{0,j}^{m+1} - T_{0,0}^{m+1} = 0 \quad (j=0, 1, \dots, M_0-1) \quad (35)$$

$$-(q+2) T_{0,j}^{m+1} + q T_{0,j-1}^{m+1} = -2 T_w \quad (36)$$

这个方程组有未知数 $(M_0 + 1)(J + 1) + \sum_{n=1}^N (M_n + 1)(J + 1) + (M_\beta + 1)(J + 1)$ 个, 方程个数与未知数相同, 方程组为线性方程组, 可通过高斯消元法求解。

将网格节点统一编号后, 封闭差分方程组中第 j 个节点的差分方程可写成下列形式:

$$C_1 T_1^{m+1} + C_2 T_2^{m+1} + \dots + C_j T_j^{m+1} + \dots + C_{i\infty} T_{i\infty}^{m+1} = b \quad (37)$$

式中 $i=1, 2, \dots, \infty; j=1, 2, \dots, \infty$
 C_i ——第 j 个节点的差分方程中第 i 个节点温度对应的温度系数;
 b ——封闭差分方程组中第 j 个节点差分方程的常数项系数。

C_0, b 均由原油、管壁、土壤、大气等的物性参数, 时间步长, 差分网格数, 等分数等值决定, 并且对于不同的节点、不同时刻, 它们的值不尽相同。

对各个节点都建立了差分方程后, 将各个差分方程组合, 就建立了热油管道停输热力计算的差分方程组, 采用高斯消元法可以对这个方程组进行求解。

3 应用实例

某埋地热油管道, 管径为 $\Phi 355.6 \times 6.4$ 输量在 $150 \times 10^4 \sim 320 \times 10^4 \text{ t/a}$ 沿线地温夏季为 15°C 左右, 冬季为 $4 \sim 5^\circ\text{C}$, 春秋为 $8 \sim 9^\circ\text{C}$, 进站油温在 $48 \sim 61^\circ\text{C}$, 出站油温为 72°C 。图 3~图 5 为管道停输

后管道全线温度随时间变化的情况。从而根据油品性质就可以确定出管道的安全停输时间^[8]。

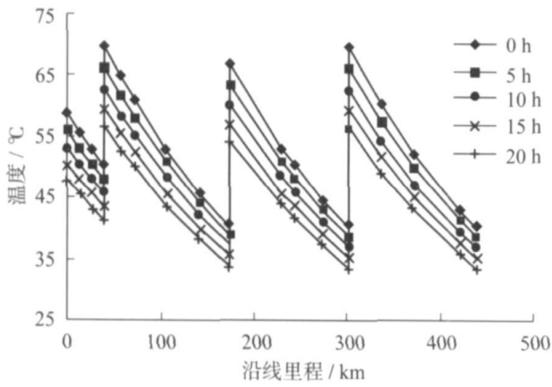


图 3 春秋季时沿线温降图

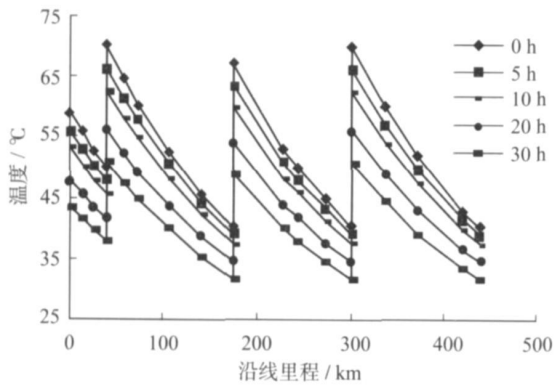


图 4 夏季时沿线温降图

4 结束语

通过建立热油管道土壤、油品、管壁传热方程,结合边界条件、连接条件、初始条件等,对其进行数值求解,可以计算出管道停输后的温降规律,从而为

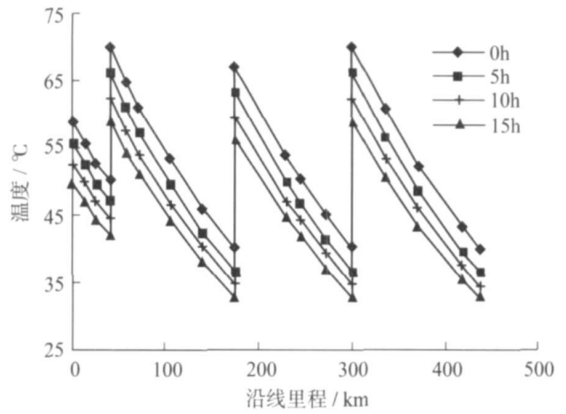


图 5 冬季时沿线温降图

更合理地确定管道的不同季节的安全停输时间提供了计算依据。

参考文献:

- [1] 罗塘湖. 含蜡原油流变特性及其管道输送[M]. 北京: 石油工业出版社, 1991.
- [2] 古宾 BE 高粘高凝原油和成品油管道输送[M]. 陈祖泽译. 北京: 石油工业出版社, 1997.
- [3] 张帆. 马一惠线、红一惠线应用降凝剂进行原油混输的研究[J]. 油气储运, 1988, 7(5): 21-24.
- [4] 杨筱蘅, 张国忠. 输油管道设计与管理[M]. 东营: 石油大学出版社, 1996.
- [5] А в п к и н В М. 原油和油品管道的热力与水力计算[M]. 罗塘湖译. 北京: 石油工业出版社, 1981.
- [6] 黄福其, 张家猷, 罗塘湖. 地下输油管热工计算[J]. 石油学报, 1980, 1(1): 77-91.
- [7] 李长俊, 李丙文. 热油管道停输数值模拟[J]. 油气储运, 2001, 20(7): 28-31.
- [8] 谢依杨. 含蜡原油管道安全停输时间的确定[J]. 油气储运, 2001, 20(8): 22-23.